

УДК 624.07:534.1

## СТАЦИОНАРНАЯ ЗАДАЧА ОБ ИЗГИБЕ ЦИЛИНДРИЧЕСКОГО СТЕРЖНЯ ПОД ДЕЙСТВИЕМ УПРУГОЙ ВОЛНЫ

НИКИТИН И. С.

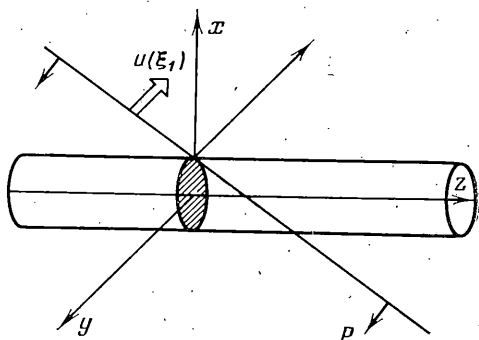
В работе решается задача о динамическом изгибе цилиндрического стержня, гладко вставленного в окружающую упругую среду, под действием стационарной наклонно падающей продольной или поперечной (докритический режим) волны.

1. Рассматривается следующая задача динамической теории упругости: на бесконечный деформируемый цилиндрический стержень радиуса  $R$ , ось которого в декартовой системе координат  $x, y, z'$  совпадает с осью  $z'$ , гладко вставленный в окружающее его упругое пространство, падает плоская продольная упругая волна. Нормаль к фронту волны параллельна плоскости  $x, z'$ , угол между осью  $z'$  и фронтом волны равен  $\alpha$  (фиг. 1). Параметры окружающего пространства — модули Ламе  $\lambda$  и  $\mu$ , плотность  $\rho_0$ , скорость продольных и поперечных волн  $a$  и  $b$  — связаны формулами  $\mu = \rho_0 b^2$ ,  $\lambda + 2\mu = \rho_0 a^2$ . Материал стержня задан модулем Юнга  $E$  и плотностью  $\rho$ . Кажущаяся скорость следа фронта по поверхности цилиндра  $c = a/\sin \alpha$ . Введем также обозначения  $\lambda_1 = \sqrt{c^2/a^2 - 1} = \text{ctg } \alpha$ ,  $\lambda_2 = \sqrt{c^2/b^2 - 1} = \text{ctg } \beta$ .

Считаем, что под действием падающей волны цилиндрический стержень испытывает поперечный изгиб в направлении оси  $x$ , описываемый уравнением Бернулли — Эйлера, величина прогиба  $U(z', t)$  подлежит определению. Для решения задачи перейдем в стационарную подвижную систему координат  $z = z' + ct$ , тогда величина прогиба  $U(z', t)$  будет функцией только  $z$ . Профиль падающей волны зададим ее продольным потенциалом  $\Phi_0(\xi_1)$ , где  $\xi_1 = z + \lambda_1 x - \lambda_1 ct$ , или нормальным смещением в волне  $u_0(\xi_1) = \sqrt{1 + \lambda_1^2} \cdot \partial \Phi_0 / \partial \xi_1$ . Введем полярную систему координат  $r, \vartheta, z$ , где  $r = \sqrt{x^2 + y^2}$ ,  $\vartheta = \arctg(y/x)$ .

Поведение внешнего упругого пространства будем описывать скалярным продольным потенциалом  $\varphi$  и векторным поперечным потенциалом  $\psi = (\psi_r, \psi_\vartheta, \psi_z)$ , вектором смещений  $u = (u_r, u_\vartheta, u_z) = \text{grad } \varphi + \text{rot } \psi$  и напряжениями  $\sigma_{rr}, \sigma_{\vartheta\vartheta}, \sigma_{zz}, \tau_{r\vartheta}, \tau_{rz}$ , связанными со смещениями законом Гука. Все напряжения обезразмерим на  $\mu$ , линейные величины — на  $R$ , а скорости — на  $b$ .

Требуется, считая заданным потенциал падающей волны  $\Phi_0(\xi_1)$  (или нормальное к фронту волны смещение  $u_0(\xi_1)$ ), определить величину  $U(z)$  из системы, состоящей из уравнения для поперечного изгиба ци-



Фиг. 1

линдрa и волновых уравнений для потенциалов

$$E\partial^4 U/\partial z^4 + 4\rho(1+\lambda_2^2)\partial^2 U/\partial z^2 = 4F(z, U)/\pi \quad (1.1)$$

$$F(z, U) = \int_{-\pi}^{\pi} \sigma_{rr} \cos \vartheta d\vartheta |_{r=1},$$

$$\frac{1}{r} \frac{\partial}{\partial r} \left( r \frac{\partial \varphi}{\partial r} \right) + \frac{1}{r^2} \frac{\partial^2 \varphi}{\partial \vartheta^2} - \lambda_1^2 \frac{\partial^2 \varphi}{\partial z^2} = 0$$

$$\frac{1}{r} \frac{\partial}{\partial r} \left( r \frac{\partial \psi_r}{\partial r} \right) + \frac{1}{r^2} \frac{\partial^2 \psi_r}{\partial \vartheta^2} - \frac{\psi_r}{r^2} - \frac{2}{r^2} \frac{\partial \psi_\vartheta}{\partial \vartheta} - \lambda_2^2 \frac{\partial^2 \psi_r}{\partial z^2} = 0$$

$$\frac{1}{r} \frac{\partial}{\partial r} \left( r \frac{\partial \psi_\vartheta}{\partial r} \right) + \frac{1}{r^2} \frac{\partial^2 \psi_\vartheta}{\partial \vartheta^2} - \frac{\psi_\vartheta}{r^2} + \frac{2}{r^2} \frac{\partial \psi_r}{\partial \vartheta} - \lambda_2^2 \frac{\partial^2 \psi_\vartheta}{\partial z^2} = 0$$

$$\frac{1}{r} \frac{\partial}{\partial r} \left( r \frac{\partial \psi_z}{\partial r} \right) + \frac{1}{r^2} \frac{\partial^2 \psi_z}{\partial \vartheta^2} - \lambda_2^2 \frac{\partial^2 \psi_z}{\partial z^2} = 0 \quad (1.2)$$

Дополнительное условие на векторный поперечный потенциал

$$\operatorname{div} \psi = \frac{1}{r} \frac{\partial (r\psi_r)}{\partial r} + \frac{1}{r} \frac{\partial \psi_\vartheta}{\partial \vartheta} + \frac{\partial \psi_z}{\partial z} = 0 \quad (1.3)$$

Граничные условия при  $r=1$  следующие:

$$\tau_{r\vartheta} = \tau_{rz} = 0, \quad u_r = U(z) \cos \vartheta \quad (1.4)$$

Кроме того, решения системы волновых уравнений (1.2) должны удовлетворять условиям излучения при  $r \rightarrow \infty$ , т. е. их образы Фурье  $\varphi^*$ ,  $\psi_r^*$ ,  $\psi_\vartheta^*$ ,  $\psi_z^*$  должны вести себя как  $\varphi^* \sim \exp(i\lambda_1 \omega r)/\sqrt{r}$ ,  $\psi_{r,\vartheta,z}^* \sim \exp(i\lambda_2 \omega r)/\sqrt{r}$ .

Величина  $F(U, z)$  представляет собой распределенную погонную поперечную силу, действующую на стержень со стороны окружающего пространства.

Приведем также выражения величин  $u_r$ ,  $\tau_{r\vartheta}$ ,  $\tau_{rz}$ ,  $\sigma_{rr}$  через потенциалы  $\varphi$  и  $\psi$  [1]:

$$u_r = \frac{\partial \varphi}{\partial r} + \frac{1}{r} \frac{\partial \psi_z}{\partial \vartheta} - \frac{\partial \psi_\vartheta}{\partial z}$$

$$\tau_{r\vartheta} = 2 \frac{\partial}{\partial r} \left( \frac{1}{r} \frac{\partial \varphi}{\partial \vartheta} \right) + r \frac{\partial}{\partial r} \left[ \frac{1}{r} \left( \frac{\partial \psi_r}{\partial z} - \frac{\partial \psi_z}{\partial r} \right) \right] + \frac{1}{r^2} \frac{\partial^2 \psi_z}{\partial \vartheta^2} - \frac{1}{r} \frac{\partial \psi_\vartheta}{\partial \vartheta \partial z} \quad (1.5)$$

$$\sigma_{rr} = \lambda \left[ \frac{1}{r} \frac{\partial}{\partial r} \left( r \frac{\partial \varphi}{\partial r} \right) + \frac{1}{r^2} \frac{\partial^2 \varphi}{\partial \vartheta^2} + \frac{\partial^2 \varphi}{\partial z^2} \right] + 2 \left[ \frac{\partial^2 \varphi}{\partial r^2} + \frac{\partial}{\partial r} \left( \frac{1}{r} \frac{\partial \psi_z}{\partial \vartheta} - \frac{\partial \psi_\vartheta}{\partial z} \right) \right]$$

Представим входящую в уравнение (1.1) распределенную силу в виде  $F(U, z) = F_0(z) + F_1(z) + F_2(U, z)$  и соответственно разобьем всю задачу определения  $U(z)$  на три подзадачи для  $F_0(z)$ ,  $F_1(z)$  и  $F_2(U, z)$  и последующего решения уравнения (1.1).

Поперечная сила  $F_0(z)$ , действующая на стержень и обусловленная падающей волной, вычисляется по потенциалу  $\Phi_0(\xi_1)$ :

$$F_0(z) = \int_{-\pi}^{\pi} \sigma_{rr}^0 \cos \vartheta d\vartheta |_{r=1}$$

$$\sigma_{rr}^0 = \lambda \left[ \frac{1}{r} \frac{\partial}{\partial r} \left( r \frac{\partial \Phi_0}{\partial r} \right) + \frac{1}{r^2} \frac{\partial^2 \Phi_0}{\partial \vartheta^2} + \frac{\partial^2 \Phi_0}{\partial z^2} \right] + 2 \frac{\partial^2 \Phi_0}{\partial r^2} \quad (1.6)$$

Поперечная сила  $F_1(z)$ , обусловленная отраженной волной, имеет вид

$$F_1(z) = \int_{-\pi}^{\pi} \sigma_{rr}^1 \cos \vartheta \, d\vartheta \Big|_{r=1}$$

Находится из решения системы (1.2) с условием (1.3) при нулевых начальных условиях при  $z=0$  и граничных условиях при  $r=1$  и  $z>0$ :

$$\tau_{r\vartheta} = -2 \frac{\partial}{\partial r} \left( \frac{1}{r} \frac{\partial \Phi_0}{\partial \vartheta} \right), \quad \tau_{rz} = -2 \frac{\partial^2 \Phi_0}{\partial z \partial r}, \quad u_r = -\frac{\partial \Phi_0}{\partial r} \quad (1.7)$$

и условиях излучения при  $r \rightarrow \infty$ .

Поперечная сила, обусловленная волной, излученной цилиндром при его изгибном смещении  $U(z)$  (неизвестном и подлежащем определению):

$$F_2(U, z) = \int_{-\pi}^{\pi} \sigma_{rr}^2 \cos \vartheta \, d\vartheta \Big|_{r=1}$$

находится из решения системы (1.2) с условием (1.3) и с граничными условиями при  $-\infty < z < \infty$  и  $r=1$ :

$$\tau_{r\vartheta} = \tau_{rz} = 0, \quad u_r = U(z) \cos \vartheta \quad (1.8)$$

и условиями излучения при  $r \rightarrow \infty$ .

С учетом симметрии задачи по  $\vartheta$  потенциал  $\Phi_0(\xi_1)$  и напряжение  $\sigma_{rr}$ , входящее в правую часть уравнения (1.1), могут быть представлены в виде рядов  $\Phi_0 = \sum \varphi_n(z, r) \cos n\vartheta$  и  $\sigma_{rr} = \sum s_n(U, z, r) \cos n\vartheta$  ( $n=0, 1, \dots$ ), причем каждый член второго ряда  $s_n$  определяется в конечном итоге соответствующим членом ряда для потенциала падающей волны  $\varphi_n$ .

В силу ортогональности тригонометрических функций распределенная сила  $F(z)$  в правой части уравнения (1.1) равна

$$F(z) = \int_{-\pi}^{\pi} \sigma_{rr} \cos \vartheta \, d\vartheta = \sum_{n=0}^{\infty} \int_{-\pi}^{\pi} s_n \cos n\vartheta \cos \vartheta \, d\vartheta = \pi s_1$$

Поэтому для определения прогиба из уравнения (1.1) достаточно выделить из бесконечного ряда для потенциала падающей волны единственный член  $\varphi_1 \cos \vartheta$ .

Произведем интегральное преобразование Фурье всех уравнений и условий задачи по  $z$  с параметром преобразования  $\omega$ . Поскольку заранее неизвестно поведение искомых функций при  $z \rightarrow \infty$ , преобразование Фурье будем понимать как обобщенное преобразование функций медленного роста [2]. Преобразованные функции обозначим тем же символом, что и исходные, но с верхним индексом \*.

Используя формулу для производящей функции [3], представим преобразованный потенциал падающей волны  $\Phi_0^*(\omega, r, \vartheta)$  в виде ряда ( $J_n$  — функция Бесселя  $n$ -го порядка):

$$\begin{aligned} \Phi_0^*(\omega, r, \vartheta) &= \sum_{n=0}^{\infty} \varphi_n^*(\omega, r) \cos n\vartheta = \\ &= \Phi^*(\omega) \exp(i\omega_1) \left[ J_0(\omega_1 r) + 2 \sum_{n=1}^{\infty} (-i)^n J_n(\omega_1 r) \cos n\vartheta \right] \end{aligned}$$

$$\omega_1 = \lambda_1 \omega, \quad \omega_2 = \lambda_2 \omega$$

Спектральную функцию потенциала падающей волны, так же как и

смещение в ней, считаем известной.

$$\Phi^*(\omega) = \int_{-\infty}^{+\infty} \Phi_0(\xi) e^{i\omega\xi} d\xi, \quad u^*(\omega) = \int_{-\infty}^{+\infty} u_0(\xi) e^{i\omega\xi} d\xi = -i\omega \sqrt{1+\lambda_1^2} \Phi^*(\omega)$$

Таким образом, необходимый для решения задачи первый член разложения потенциала падающей волны в преобразованном пространстве равен

$$\varphi_1^*(\omega, r) = \frac{2J_1(\omega_1 r)}{(1+\lambda_1^2)^{1/2} \omega} e^{i\omega_1 r} u^*(\omega)$$

В дальнейшем под потенциалом падающей волны будем понимать только этот единственный член разложения, поскольку другие на поведение искомой функции  $U(z)$  влияния не оказывают.

Выпишем выражение для  $F_0^*(\omega)$  с учетом (1.6):

$$F_0^*(\omega) = f_0^p(\omega) u^*(\omega)$$

$$f_0^p = \frac{4\pi \exp(i\omega_1)}{\sqrt{1+\lambda_1^2} \omega} \left\{ -\omega_1 J_0(\omega_1) + \left[ 2 - \omega_1^2 - \lambda \frac{1+\lambda_1^2}{2} \omega^2 \right] J_1(\omega_1) \right\}$$

Для определения  $F_1^*(\omega)$  и  $F_2^*(U, \omega)$  надо знать решение преобразованной системы (1.2) для потенциалов  $\varphi^*$ ,  $\psi_r^*$ ,  $\psi_\theta^*$  и  $\psi_z^*$ . Для решения задачи необходимы только первые члены ряда по  $\cos n\vartheta$  (в которые разлагаются симметричные по  $\vartheta$  функции  $\varphi$  и  $\psi_\theta$ ) и ряда по  $\sin n\vartheta$  (в который разлагаются антисимметричные по  $\vartheta$  функции  $\psi_r$  и  $\psi_z$ ), которые с учетом условий излучения имеют вид

$$\varphi^* = C_1 H_1^{(1)}(\omega_1 r) \cos \vartheta, \quad \psi_r^* = [C_2 H_0^{(1)}(\omega_2 r) + C_3 H_2^{(1)}(\omega_2 r)] \sin \vartheta \quad (1.9)$$

$$\psi_\theta^* = [C_2 H_0^{(1)}(\omega_2 r) - C_3 H_2^{(1)}(\omega_2 r)] \cos \vartheta, \quad \psi_z^* = C_4 H_1^{(1)}(\omega_2 r) \sin \vartheta$$

где  $H_n^{(1)}$  — функция Ханкеля первого рода  $n$ -го порядка.

Коэффициент  $C_4$  исключается с помощью условия (1.3)  $C_4 = i\lambda_2(C_2 - C_3)$ , неизвестные коэффициенты  $C_1$ ,  $C_2$  и  $C_3$  находятся из преобразованных граничных условий (1.7) при определении  $F_1^*(\omega)$  или (1.8) при определении  $F_2^*(U, \omega)$ .

Граничные условия (1.7) дают следующую систему трех уравнений с тремя неизвестными:

$$\|A\| \begin{pmatrix} C_1 \\ iC_2 \\ iC_3 \end{pmatrix} = \begin{pmatrix} b_1 \\ b_2 \\ b_3 \end{pmatrix} u^*(\omega) \quad (1.10)$$

Граничные условия (1.8) дают систему

$$\|A\| \begin{pmatrix} C_1 \\ iC_2 \\ iC_3 \end{pmatrix} = \begin{pmatrix} d_1 \\ d_2 \\ d_3 \end{pmatrix} U^*(\omega) \quad (1.11)$$

где матрица  $\|A\| = \{a_{ij}\}$  такая:

$$a_{11} = 2\omega_1 H_0^{(1)}(\omega_1) - 2H_1^{(1)}(\omega_1), \quad a_{12} = 2\omega H_0^{(1)}(\omega_2) - 2\lambda_2 H_1^{(1)}(\omega_2)$$

$$a_{13} = -2\omega H_2^{(1)}(\omega_2) - 2\lambda_2 H_1^{(1)}(\omega_2), \quad a_{21} = 4H_1^{(1)}(\omega_1) - 2\omega_1 H_0^{(1)}(\omega_1)$$

$$a_{22} = 2\lambda_2 \omega_2 H_0^{(1)}(\omega_2) + \lambda_2 [(1+\lambda_2^2)\omega^2 - 4] H_1^{(1)}(\omega_2)$$

$$a_{23} = 4\omega H_2^{(1)}(\omega_2) - \lambda_2 \omega_2 H_0^{(1)}(\omega_2) - \lambda_2 [(1+\lambda_2^2)\omega^2 - 4] H_1^{(1)}(\omega_2)$$

$$a_{32} = 2\lambda_2 H_1^{(1)}(\omega_2) + \omega(1 - \lambda_2^2) H_0^{(1)}(\omega_2)$$

$$a_{33} = -\omega H_2^{(1)}(\omega_2) - \lambda_2 \omega_2 H_0^{(1)}(\omega_2), \quad a_{31} = a_{11}$$

а векторы-столбцы в правой части (1.10) и (1.11) равны

$$b_1 = b_3 = -4 \frac{\omega_1 J_0(\omega_1) - J_1(\omega_1)}{\omega} \exp(i\omega_1)$$

$$b_2 = -4 \frac{2J_1(\omega_1) - \omega_1 J_0(\omega_1)}{\omega} \exp(i\omega_1), \quad d_1 = 2, \quad d_2 = d_3 = 0$$

Опустим чрезвычайно громоздкие выражения для коэффициентов  $C_1$ ,  $C_2$  и  $C_3$  из систем (1.10) и (1.11) (будем далее считать их известными). Выражения для  $F_1^*$  и  $F_2^*$  получим из решения (1.9) и (1.5) для  $\sigma_{rr}$ :

$$F_{1,2}^*(\omega) = 2\pi \left\{ C_1 \left[ -\omega_1 H_0^{(1)}(\omega_1) + \left( 2 - \omega_1^2 - \lambda \frac{1 + \lambda_1^2}{2} \omega^2 \right) H_1^{(1)}(\omega_1) \right] + \right. \\ \left. + iC_2 [\lambda_2 \omega_2 H_0^{(1)}(\omega_2) - \lambda_2 (2 + \omega^2) H_1^{(1)}(\omega_2)] - iC_3 [\lambda_2 \omega_2 H_0^{(1)}(\omega_2) - \right. \\ \left. - \lambda_2 (2 - \omega^2) H_1^{(1)}(\omega_2) - 2\omega H_2^{(1)}(\omega_2) \right] \Big\} \quad (1.12)$$

Таким образом, выражения для  $F_1^*$  и  $F_2^*$  имеют вид

$$F_1^*(\omega) = f_1^p(\omega) u^*(\omega)$$

$$F_2^*(U, \omega) = f_2(\omega) U^*(\omega)$$

где  $f_1^p$  и  $f_2$  — известные комплексные функции  $\omega$ .

Преобразованное уравнение (1.1) теперь записывается в виде

$$E\omega^4 U^* - 4\rho(1 + \lambda_2^2) U^* - 4f_2 U^* / \pi = 4(f_0^p + f_1^p) u^* / \pi$$

Отсюда получаем

$$U^*(\omega) = U_0^{p*}(\omega) u^*(\omega), \quad U_0^{p*} = \frac{4}{\pi} \frac{(f_0^p(\omega) + f_1^p(\omega))}{(E\omega^4 - 4\rho(1 + \lambda_2^2)\omega^2 - 4f_2/\pi)} \quad (1.13)$$

где  $U_0^{p*}(\omega)$  — фиксированная функция при заданных константах материалов  $E$ ,  $\lambda$ ,  $\mu$ ,  $\rho$  и  $\rho_0$  и угле падения волны  $\alpha$ , не зависящая от формы падающей волны. Ее асимптотическое поведение таково:

$$U_0^{p*}(\omega) \underset{\omega \rightarrow 0}{\sim} \lambda_1 / \sqrt{1 + \lambda_1^2} = \cos \alpha, \quad U_0^{p*}(\omega) \underset{\omega \rightarrow \infty}{\sim} O(1/\omega^{5/2}).$$

Заметим, что из предельной формулы при  $\omega \rightarrow 0$  следует, что в длинноволновом приближении  $U(z) = u_0(z) \cos \alpha = u_x(z)$ , т. е. прогиб цилиндра совпадает со смещением в волне в направлении оси  $x$  (хотя в направлении  $z$  имеет место проскальзывание — смещение цилиндра и среды не совпадают).

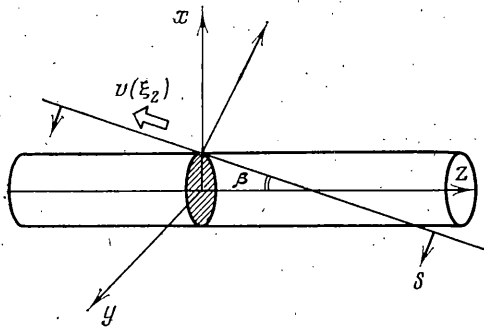
Окончательное решение можно представить в виде свертки

$$U(z) = \int_{-\infty}^{+\infty} U_0^p(z - \xi) u_0(\xi) d\xi \quad (1.14)$$

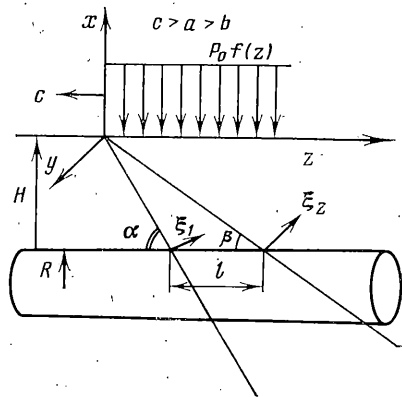
$U_0^p(\xi)$  — обратное преобразование Фурье функции  $U_0^{p*}(\omega)$ .

$$U_0^p(\xi) = \frac{1}{2\pi} \int_{-\infty}^{+\infty} U_0^{p*}(\omega) \exp(-i\omega\xi) d\omega$$

2. Аналогично в подвижной системе координат  $x, y, z = z' + ct$  ( $c = b/\sin \beta$ ) решается задача об изгибе цилиндрического стержня под действием па-



Фиг. 2



Фиг. 3

дающей под углом  $\beta$  поперечной волны. В этом случае падающая волна задается поперечным потенциалом  $\psi_v^0(\xi_z) = \Psi_0(\xi_z)$ ,  $\psi_x^0 = \psi_z^0 = 0$  или смещением в ней  $v_0(\xi_z) = \sqrt{1 + \lambda_2^2} \partial \Psi_0(\xi_z) / \partial \xi_z$  (фиг. 2), где  $\xi_z = z + \lambda_2 x - \lambda_2 t$ , или в полярной системе координат, которая используется при решении задачи  $\psi_r^0 = \Psi_0(\xi_z) \sin \vartheta$ ,  $\psi_\vartheta^0 = \Psi_0(\xi_z) \cos \vartheta$ ,  $\psi_z^0 = 0$ .

Рассмотрим только случай докритического падения поперечной волны  $c > a > b$  (параметры  $\lambda_1$  и  $\lambda_2$  действительны). Отсюда получается ограничение на угол  $\beta$ :  $\sin \beta \leq b/a$ .

При заданной падающей волне надо решить систему (1.1) и (1.2) при дополнительном условии (1.3) с граничными условиями (1.4) и условиями излучения при  $r \rightarrow \infty$ . Искомой, как и раньше, является величина прогиба стержня  $U(z)$ . Распределенную силу  $F(U, z)$ , входящую в уравнение (1.1), в этом случае также можно представить в виде  $F(U, z) = F_0(z) + F_1(z) + F_2(U, z)$ , где составляющие  $F_0$ ,  $F_1$  и  $F_2$  имеют тот же смысл, что и в задаче с падающей продольной волной.  $F_0$  вычисляется по потенциалу падающей волны

$$F_0(z) = \int_{-\pi}^{\pi} \sigma_{rr}^0 \cos \vartheta \, d\vartheta \Big|_{r=1}, \quad \sigma_{rr}^0 = 2 \frac{\partial}{\partial r} \left( -\frac{\partial \psi_\vartheta^0}{\partial z} \right) \quad (2.1)$$

$F_1$  находится из решения системы (1.2) с условием (1.3) при нулевых начальных условиях при  $z=0$  и граничных условиях при  $r=1$  и  $z>0$ :

$$\begin{aligned} u_r &= \frac{\partial \psi_\vartheta^0}{\partial z}, & \tau_{r\vartheta} &= \frac{1}{r} \frac{\partial^2 \psi_\vartheta^0}{\partial \vartheta \partial z} - r \frac{\partial}{\partial r} \left( \frac{1}{r} \frac{\partial \psi_r^0}{\partial z} \right) \\ \tau_{rz} &= \frac{\partial}{\partial r} \left( \frac{1}{r} \frac{\partial \psi_r^0}{\partial \vartheta} \right) + \frac{\partial^2 \psi_\vartheta^0}{\partial z^2} - \frac{\partial}{\partial r} \left( \frac{\psi_\vartheta^0}{r} \right) - \frac{\partial^2 \psi_\vartheta^0}{\partial r^2} \end{aligned} \quad (2.2)$$

а  $F_2(U, z)$  находится так же, как и в задаче с падающей продольной волной.

В пространстве преобразования Фурье поперечные потенциалы падающей волны  $\psi_r^0$  и  $\psi_\vartheta^0$  представляются в виде рядов

$$\begin{aligned} \psi_r^{0*} &= \Psi^*(\omega) \exp(\omega_2) \sum_{n=1}^{\infty} (-i)^{n-1} [J_{n-1}(\omega_2 r) + J_{n+1}(\omega_2 r)] \sin n\vartheta \\ \psi_\vartheta^{0*} &= \Psi^*(\omega) \exp(\omega_2) \left\{ \sum_{n=1}^{\infty} (-i)^{n-1} [J_{n-1}(\omega_2 r) - J_{n+1}(\omega_2 r)] \cos n\vartheta - i J_1(\omega_2 r) \right\} \end{aligned}$$

где спектральная функция потенциала  $\psi_y^0$  падающей волны  $\Psi^*(\omega)$  счи-

тается известной, так же как и смещения в ней

$$\Psi^*(\omega) = \int_{-\infty}^{+\infty} \Psi_0(\xi) e^{i\omega\xi} d\xi, \quad v^*(\omega) = \sqrt{1+\lambda_2^2} i\omega \Psi^*(\omega)$$

Для решения задачи вновь необходимы только первые члены разложений потенциалов  $\psi_r^0$  и  $\psi_s^0$ :

$$\psi_r^{1*} = \Psi^*(\omega) \exp(i\omega_2 r) [J_0(\omega_2 r) + J_2(\omega_2 r)]$$

$$\psi_s^{1*} = \Psi^*(\omega) \exp(i\omega_2 r) [J_0(\omega_2 r) - J_2(\omega_2 r)]$$

Выражение для  $F_0^*(\omega)$  в этом случае получаем из (2.1):

$$F_0^*(\omega) = f_0^s(\omega) v^*(\omega), \quad f_0^s = \frac{4\pi \exp(i\omega_2)}{\sqrt{1+\lambda_2^2}} [J_2(\omega_2) - \omega_2 J_1(\omega_2)]$$

Для определения  $F_1^*(\omega)$  используем решение (1.9) с неизвестными коэффициентами  $C_1$ ,  $C_2$  и  $C_3$ , которые находим с помощью граничных условий (2.2) из системы

$$\|A\| \begin{pmatrix} C_1 \\ iC_2 \\ iC_3 \end{pmatrix} = \begin{pmatrix} e_1 \\ e_2 \\ e_3 \end{pmatrix} v^*(\omega) \quad (2.3)$$

$$e_1 = \frac{2 \exp(i\omega_2)}{\sqrt{1+\lambda_2^2}} [J_0(\omega_2) - J_2(\omega_2)], \quad e_2 = \frac{4 \exp(i\omega_2)}{\sqrt{1+\lambda_2^2}} J_2(\omega_2)$$

$$e_3 = \frac{(1-\lambda_2^2) \exp(i\omega_2)}{\sqrt{1+\lambda_2^2}} [J_0(\omega_2) - J_2(\omega_2)]$$

Громоздкие выражения для  $C_1$ ,  $C_2$  и  $C_3$  из системы (2.3) не выписываем. Подставляя их в (1.12), получаем  $F_1^*(\omega) = f_1^s(\omega) v^*(\omega)$ .

Из преобразованного уравнения (1.1) окончательно получаем

$$U^*(\omega) = U_0^{s*}(\omega) v^*(\omega), \quad U_0^{s*} = \frac{4}{\pi} \frac{(f_0^s + f_1^s)}{(E\omega^4 - 4\rho(1+\lambda_2^2)\omega^2 - 4f_2/\pi)} \quad (2.4)$$

Асимптотическое поведение  $U_0^{s*}(\omega)$  следующее:

$$U_0^{s*}(\omega) \underset{\omega \rightarrow 0}{\sim} 1/\sqrt{1+\lambda_2^2} = \sin \beta, \quad U_0^{s*}(\omega) \underset{\omega \rightarrow \infty}{\sim} O(1/\omega^{5/2}).$$

И в этом случае в длинноволновом приближении ( $\omega \rightarrow 0$ )  $U(z) \sim v_0(z) \sin \beta = v_x(z)$ , т. е. прогиб стержня совпадает со смещением в волне в направлении  $x$ . Окончательное решение представляется в виде свертки

$$U(z) = \int_{-\infty}^{+\infty} U_0^s(z-\xi) v_0(\xi) d\xi \quad (2.5)$$

Таким образом, для решения задачи об изгибе цилиндрического стержня под действием продольной или поперечной волн необходимо произвести обратное преобразование Фурье функций  $U_0^{p*}(\omega)$  и  $U_0^{s*}(\omega)$  и сосчитать интеграл свертки (1.14) или (2.5) с заданными функциями  $u_0(\xi_1)$  или  $v_0(\xi_2)$ .

3. Решим следующую задачу: в упругое полупространство, занимающее в декартовой системе координат  $x, y, z'$  область  $x \leq 0$ , на глубине  $H$  гладко вставлен бесконечный деформируемый цилиндрический стержень с модулем Юнга  $E$  радиуса  $R$ , ось которого параллельна оси  $z'$ . По поверхности полупространства параллельно оси цилиндра с постоянной

скоростью  $c > a > b$  движется нормальная нагрузка  $\sigma_{xx}(z) = P_0 f(z)$ , где  $z = z' + ct$ ,  $P_0$  — амплитуда,  $f(z)$  — форма подвижной нагрузки (фиг. 3).

Пользуясь полученными решениями, определим изгиб стержня под действием плоских продольных и поперечных волн, идущих от поверхности полупространства, пренебрегая волнами, отраженными от его поверхности (это оправдано при  $H \gg R$ ).

Пусть  $\lambda_1 = \sqrt{c^2/a^2 - 1}$ ,  $\lambda_2 = \sqrt{c^2/b^2 - 1}$ ,  $\sin \alpha = a/c$ ,  $\sin \beta = b/c$ , где  $\alpha$  и  $\beta$  — углы между фронтами волн и осью цилиндра. Выразим функции  $u_0$  и  $v_0$  (смещения в падающих волнах) через граничную нагрузки  $P_0 f(z)$ .

Используя результаты [4], имеем

$$u_0(\xi_1) = P_0 \frac{\gamma \sqrt{1 + \lambda_1^2}}{\Delta} \int_0^{\xi_1} f(\xi) d\xi, \quad v_0(\xi_2) = P_0 \frac{2\lambda_1 \sqrt{1 + \lambda_2^2}}{\Delta} \int_0^{\xi_2} f(\xi) d\xi$$

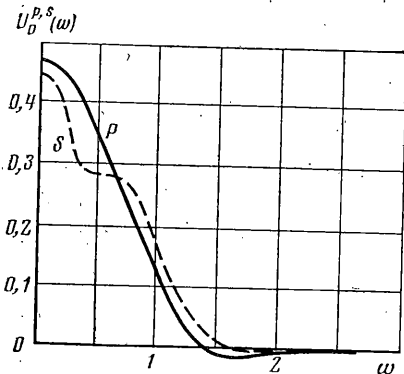
$$\gamma = \lambda_2^2 - 1, \quad \Delta = \gamma^2 + 4\lambda_1 \lambda_2 \quad (3.1)$$

Суммарный изгиб стержня под действием обеих волн в силу линейности задачи получается сложением изгиба под действием продольной волны с изгибом под действием поперечной волны со сдвигом по оси  $z$  на расстояние  $l = H(\lambda_2 - \lambda_1)$  (фиг. 3).

4. Опишем процедуру численного решения задачи об изгибе цилиндрического стержня под действием продольной и поперечной волн. Комплексные функции  $U_0^{p*}(\omega)$  и  $U_0^{s*}(\omega)$  вычислялись по конечным формулам (1.13) и (2.4). Обратное преобразование производилось численным интегрированием на конечном интервале  $(0, \omega_0)$ :

$$U_0(z) = \frac{1}{\pi} \left[ \int_0^{\omega_0} \operatorname{Re} U_0^*(\omega) \cos \omega z d\omega + \int_0^{\omega_0} \operatorname{Im} U_0^*(\omega) \sin \omega z d\omega \right]$$

по квадратурным формулам для интегрирования осциллирующих функций [5]. В расчетах  $\omega_0 = 10$  и число точек разбиения при численном интегрировании  $N = 300$ . Свертки (1.14) и (2.5) вычислялись по формуле трапеций на конечном интервале  $(0, z_0)$ ,  $z_0 = 100$ .



Фиг. 4

Приведем результаты расчетов. Форма падающих волн выбиралась согласно (3.1), где  $P_0 = 1$ , а  $f(z)$  — треугольник единичной амплитуды со временем нарастания  $\tau_1 = 2$  и временем убывания  $\tau_2 = 2$ , значения безразмерных параметров следующие  $\lambda/\mu = 2$ ,  $\rho/\rho_0 = 1$ .

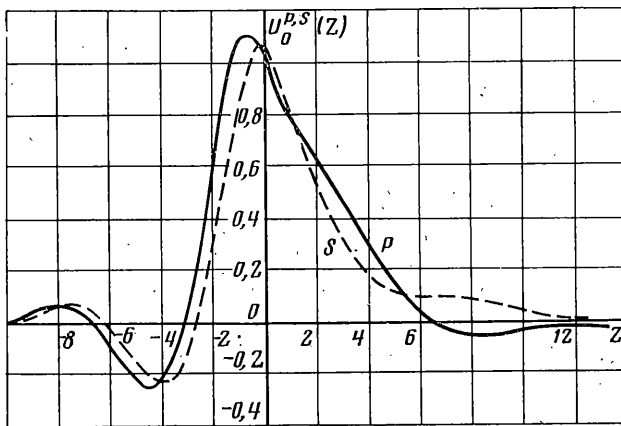
На фиг. 4 приведены характерные кривые  $U_0^{p*}(\omega)$  (сплошная линия) и  $U_0^{s*}(\omega)$  (штриховая), а на фиг. 5 —  $U_0^p(z)$  и  $U_0^s(z)$  для случая  $\alpha = 60^\circ$ ,  $\beta = 24^\circ$ ,  $E/\mu = 30$ .

На фиг. 6–8 приведены кривые  $\delta(z)$ , характеризующие форму срединной линии изогнутого стержня под действием продольной или поперечной волн. Здесь  $\delta(z) = (U(z) - u_x(z)) /$

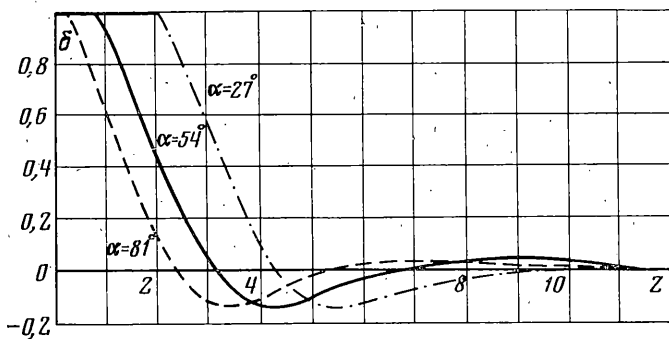
$\sqrt{U^2 + u_x^2}$ , где  $U(z)$  — поперечный прогиб стержня,  $u_x(z)$  — смещение в направлении  $x$  точек, лежащих на оси  $z$ , в падающей волне  $u_x(z) = u_0(\xi_1) \cos \alpha|_{x=0}$  для продольной волны,  $u_x(z) = v_0(\xi_2) \sin \beta|_{x=0}$  для поперечной.

На фиг. 6 и 7 приведены кривые  $\delta(z)$  при  $E/\mu = 30$  для трех различных значений угла падения продольной ( $\alpha = 27, 54, 81^\circ$ , фиг. 6) и поперечной волн ( $\beta = 13, 24, 30^\circ$ , фиг. 7). Как и следовало ожидать, все они с течением

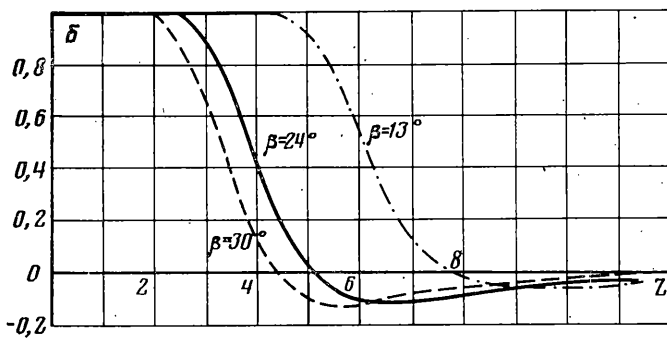




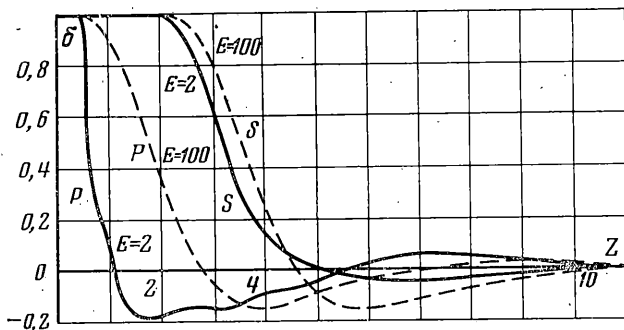
Фиг. 5



Фиг. 6



Фиг. 7



Фиг. 8

нием времени практически выходят на нуль (прогиб стержня выравнивается со смещением в волне в направлении оси  $x$ ). Переходный процесс сходен для различных углов падения, если не считать запаздывания всей картины с уменьшением угла. Кроме того, в случае падения продольной волны добавляется дополнительное колебание стержня по сравнению с падением поперечной.

На фиг. 8 приведены кривые  $\delta(z)$  при угле падения продольной волны  $\alpha=60^\circ$  (фиг. 8) и угле падения поперечной волны  $\beta=24^\circ$  (фиг. 9) для двух значений модуля Юнга стержня  $E/\mu=2$  и  $E/\mu=100$ . Несмотря на большое различие в свойствах материала стержня, кривые прогиба отличаются не так сильно. Можно отметить, что при меньшем модуле Юнга происходит более резкий прогиб стержня и более быстрый его выход на предельное стационарное значение.

Полученное решение может быть использовано для вычисления добавочных напряжений, возникающих в окружающей среде или в самом цилиндре, из-за изгиба стержня по сравнению со случаем абсолютно недеформируемого цилиндра.

В заключение автор выражает признательность Н. В. Зволинскому за постоянное внимание к работе.

#### ЛИТЕРАТУРА

1. Слепян Л. И. Нестационарные упругие волны. Л.: Судостроение, 1972. 374 с.
2. Владимиров В. С. Уравнения математической физики. М.: Наука, 1976. 527 с.
3. Лаврентьев М. А., Шабат Б. В. Методы теории функций комплексного переменного. М.—Л.: Гостехиздат, 1951. 607 с.
4. Новацкий В. Теория упругости. М.: Мир, 1975. 872 с.
5. Бахвалов Н. С. Численные методы. Т. 1. М.: Наука, 1975. 631 с.

Москва

Поступила в редакцию  
27.III.1984